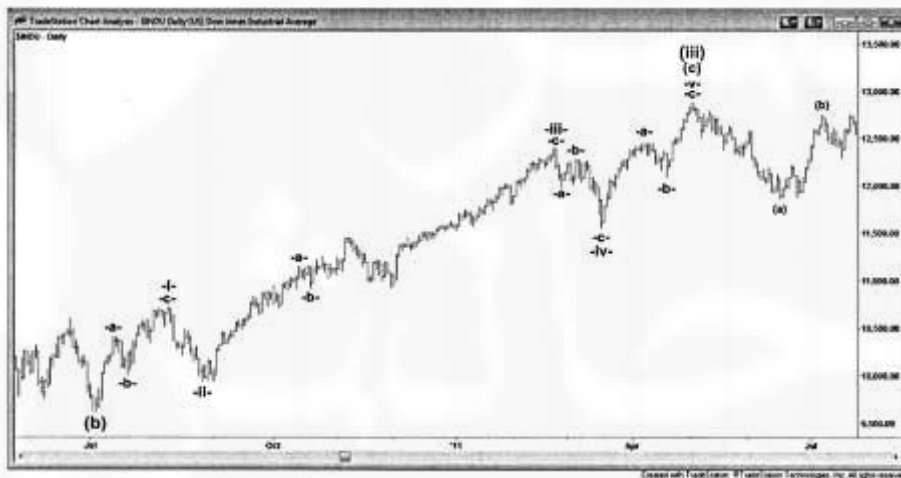
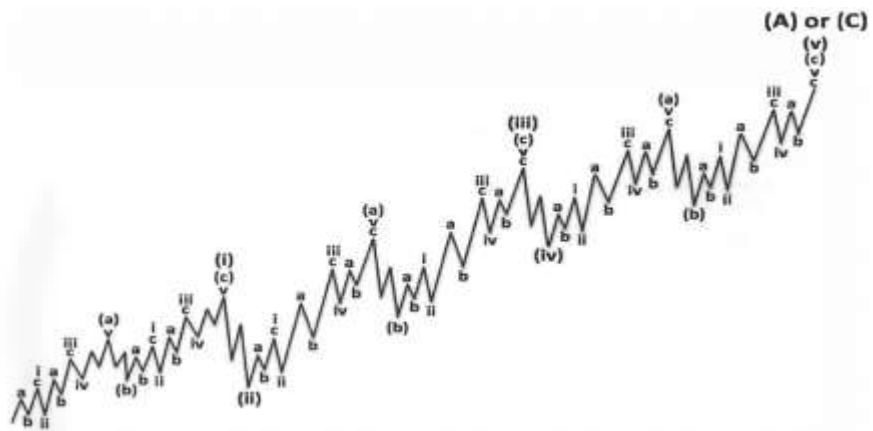


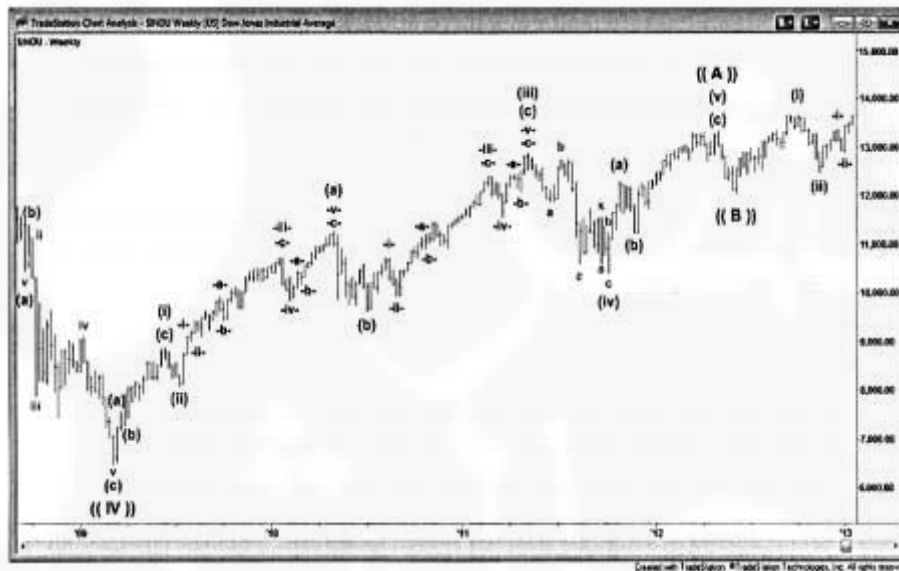
شکل ۱ - ۱ امواج IM هارمونیک الیوت



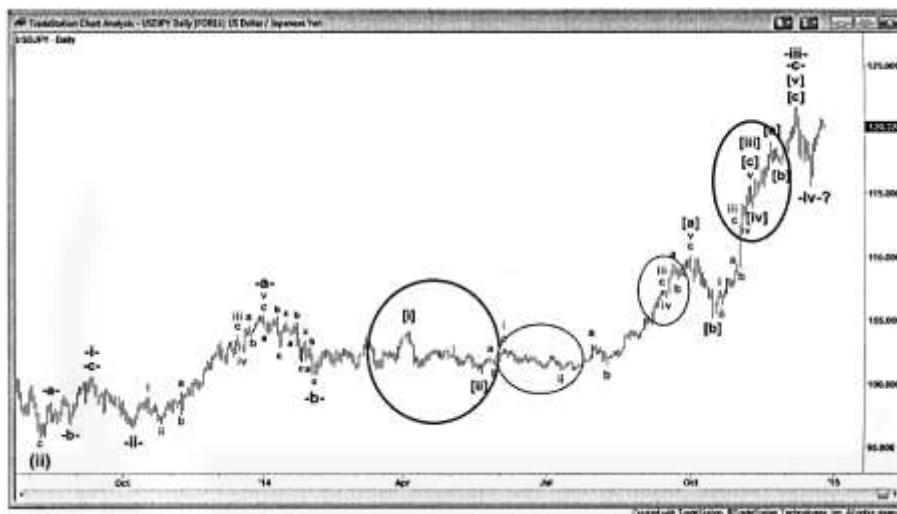
شکل ۱-۲ یک حرکت صعودی ساده پنج موجی در شاخص صنعتی داوجونز



شکل ۱-۳ ساختار پیچیده امواج هارمونیک الیوت



شکل ۱-۴ ساختار امواج پیچیده در شاخص صنعتی داو جونز



شکل ۱-۵ یک موج عمیق و طولانی ii در USDJPY در مقابل یک موج ساده و کم عمق iv



شکل ۱-۶ یک موج ساده و کم عمق (ii) در مقایسه با یک موج عمیق و پیچیده (iv)



شکل ۷-۱ بازگشت به موج -b- قبلی پس از ریزش Triple three در DOW



شکل ۸-۱ پس از اتمام یک حرکت پنج موجی، اولین برگشت موج -b- از -v- را آزمایش می‌کند.



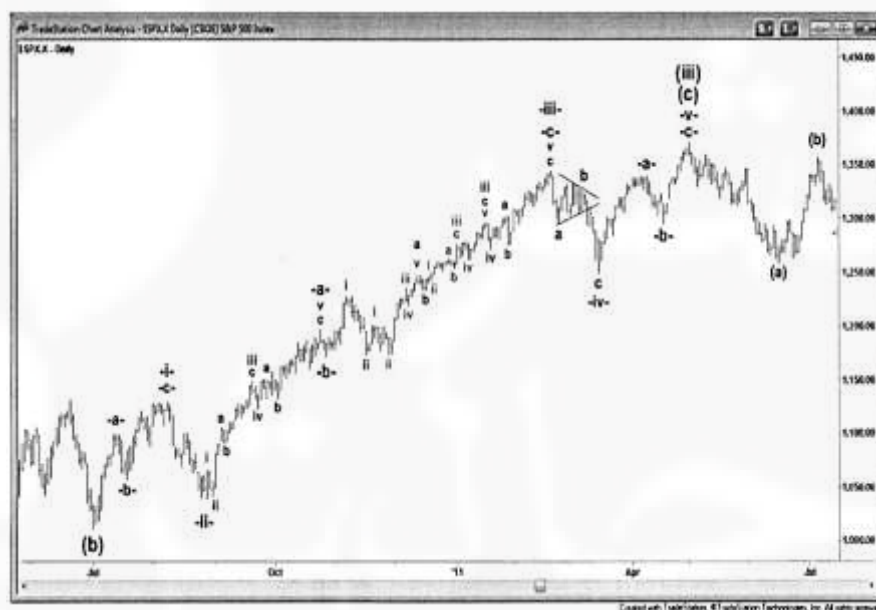
شکل ۹-۱ شاخص صنعتی داوجونز تناوب را در عمق و پیچیدگی نشان می‌دهد.



شکل ۱۰-۱ یک موج عمیق iv که یک موج بسیار کم عمق ii را در ادامه داد



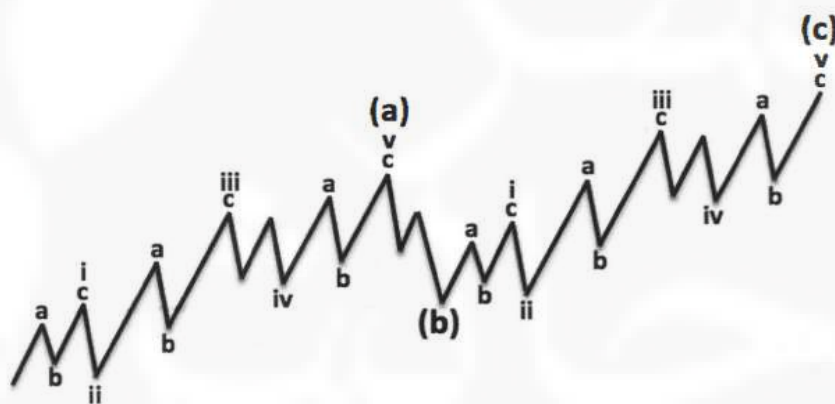
شکل ۱-۱۱ یک حرکت صعودی پنج موجی پیچیده تر در EURUSD



شکل ۱-۱۲ حرکت پنج موجی صعودی در موج (c) از (iii) با موج کم عمق -b- از -iii-



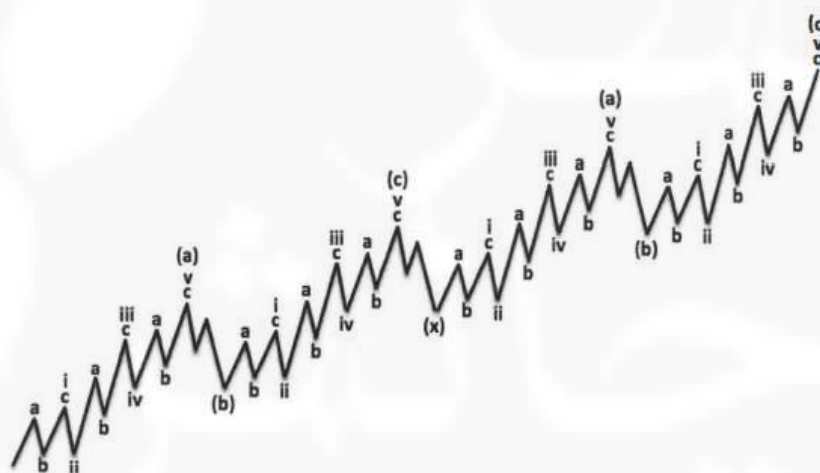
شکل ۱-۳ حرکت پنج موج داخلی در هر موج [a] و [c]



شکل ۲-۱ zigzag منفرد



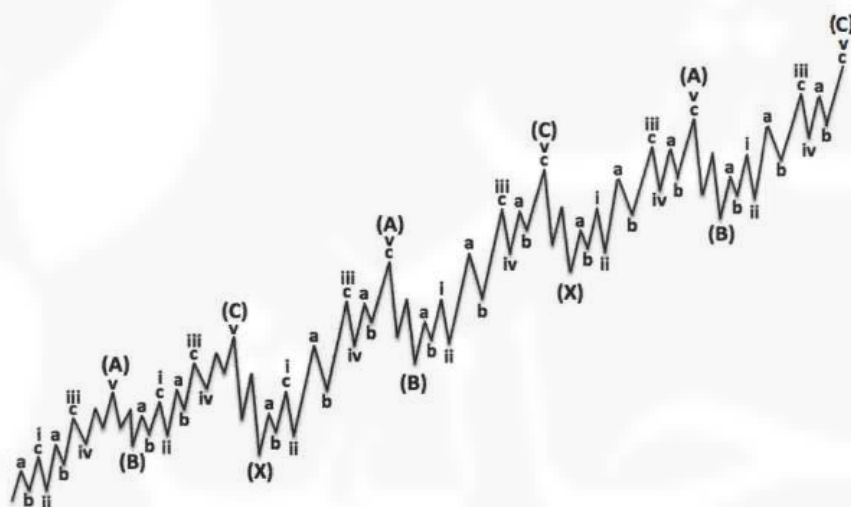
شکل ۲-۲ یک اصلاح zigzag ساده در EURUSD



شکل ۲-۳ zigzag Double



شکل ۴-۲ ریزش شاخص صنعتی داوجونز در موج (iv)



شکل ۵-۲ یک Triple Three



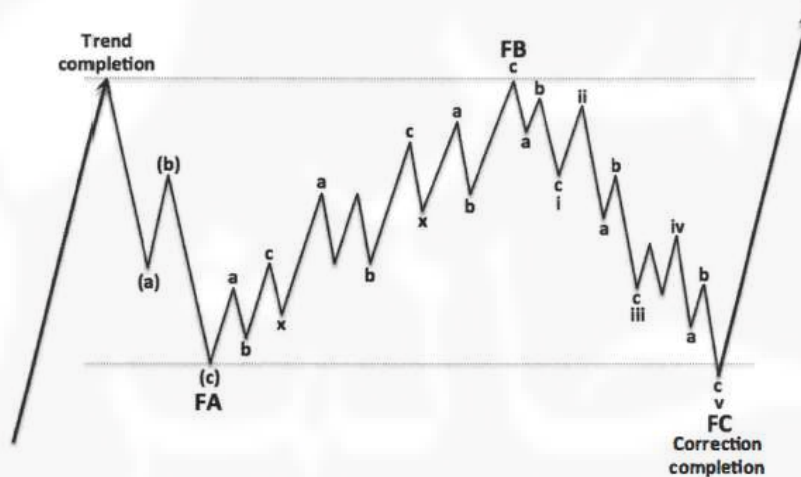
شکل ۶-۲ ریزش Triple Three در USDJPY



شکل ۷-۲ triple three بازگشتی در طلا در موج fb



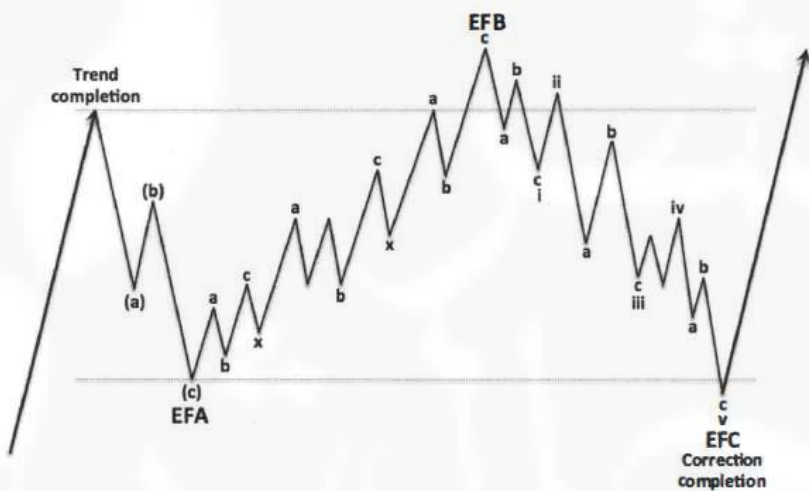
شکل ۸-۲ تفکیک triple three در نمودار ۲ ساعته



شکل ۹-۲ اصلاح flat



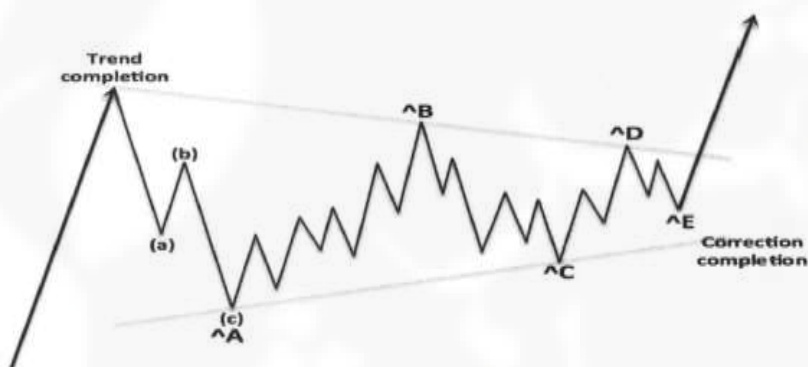
شکل ۱۰-۲ اصلاح flat در EURJPY



شکل ۱۱-۲ اصلاح Expanded flat



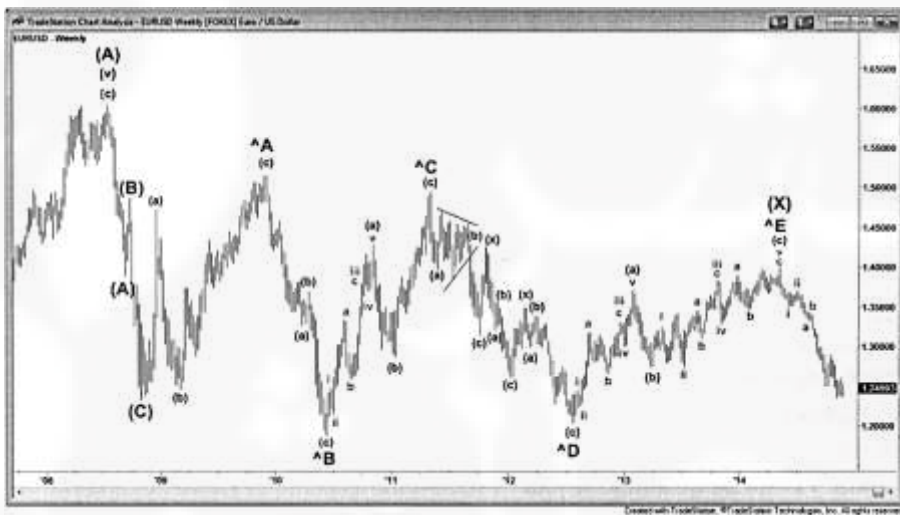
شکل ۱۲-۲ یک موج Expanded flat (b) در شاخص ترکیبی NASDAQ



شکل ۱۳-۲ یک مثلث همگرا



شکل ۱۴-۲ مثلث نزولی در طلا



شکل ۱۵-۲ یک مثلث Irregular در EURUSD



شکل ۱۸-۲ وقتی یک اصلاح پیچیده یک اصلاح پیچیده نیست.



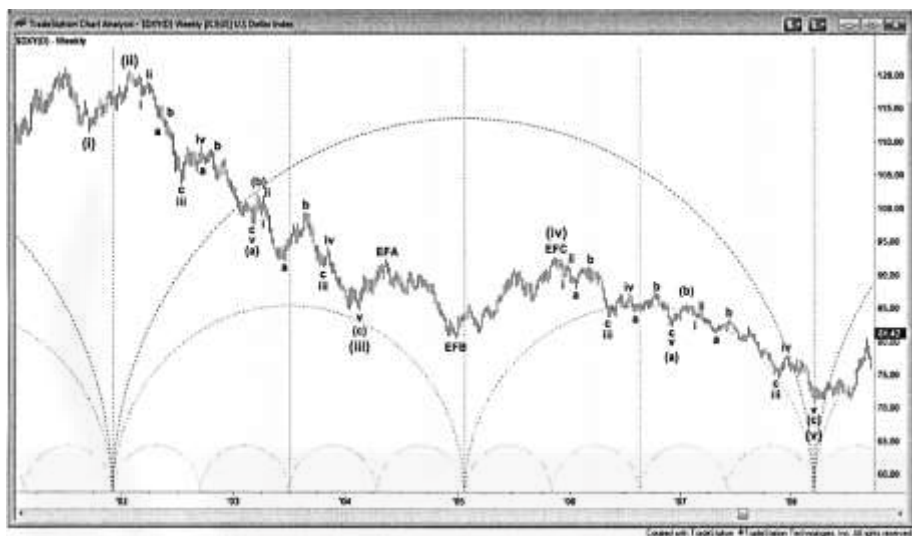
شکل ۱۹-۲ اجبار کردن شمارش متناسب با ظاهر



شکل ۲-۲۰ حرکت صعودی Super Cycle در شاخص صنعتی داوجونز



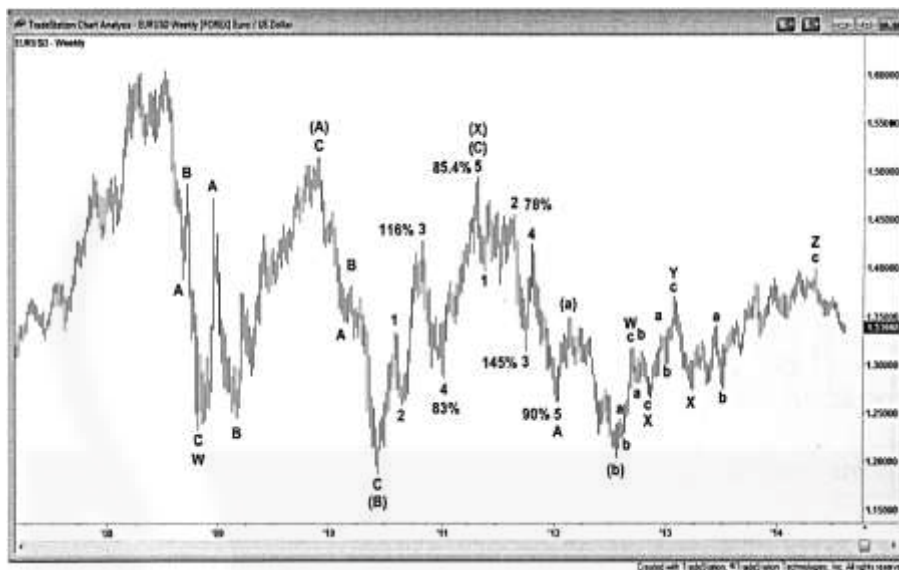
شکل ۲-۲۱ یک مثلث دونده در نمودار هفتگی شاخص دلار



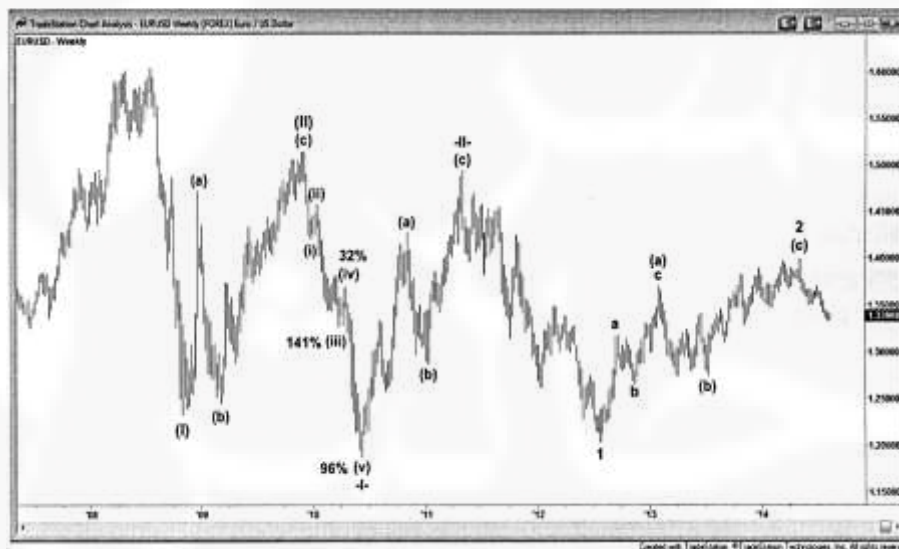
شکل ۲-۲ یک IM ریزش در شاخص دلار



شکل ۳-۱ شمارش سنتی امواج ایوت در EURUSD



شکل ۲-۳ نمودار هفتگی EURUSD



شکل ۳-۳ نمودار هفتگی EURUSD



شکل ۳-۴ یک حرکت صعودی سه موجی در شاخص صنعتی داوجونز



شکل ۳-۵ حرکت صعودی روزانه در USDCHF



شکل ۳-۶ نمودار ساعتی در حرکت صعودی روزانه نشان داده شده در شکل ۳-۵



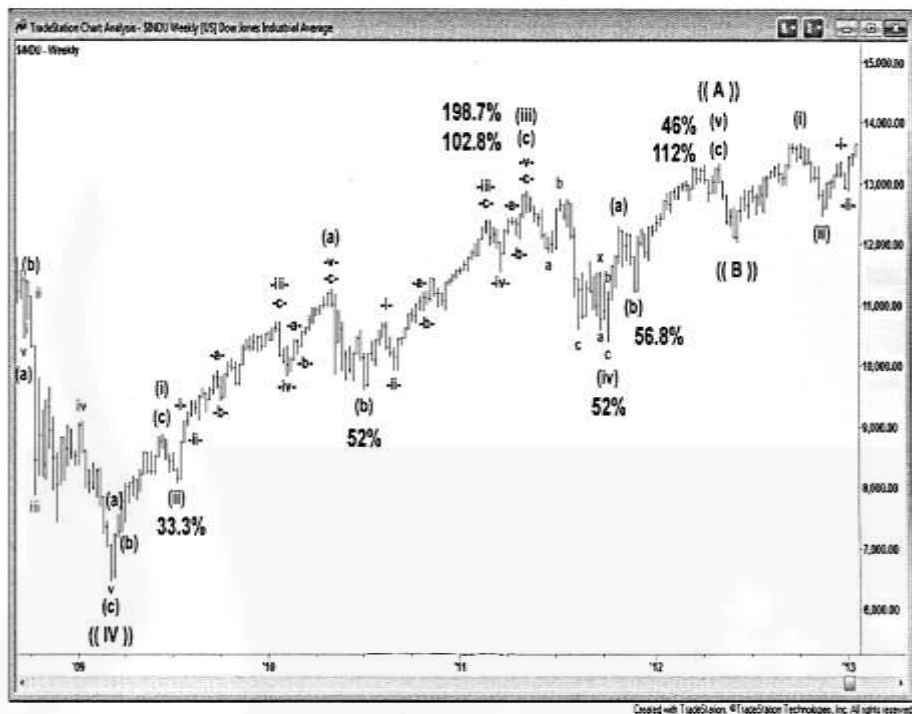
شکل ۳-۷ مقایسه بین نمودار ساعتی و ۵ دقیقه‌ای



شکل ۳-۸ یک حرکت صعودی پنج موجی ساده در شاخص صنعتی داوجونز

| | 1 | 2 | 3 | 4 | 5 | 6 | 7 | 8 | |
|-----------------------|--------|-------|--------|-------|--------|--------|--------|-------|--------|
| 0 | | | | | | | | | |
| 1 | 100.0% | | | | | | | | |
| 2 | 50.0% | 50.0% | | | | | | | |
| 3 | 66.7% | 33.3% | 33.3% | | | | | | |
| 5 | 60.0% | 40.0% | 20.0% | 20.0% | | | | | |
| 8 | 62.5% | 37.5% | 25.0% | 12.5% | 12.5% | | | | |
| 13 | 61.5% | 38.5% | 23.1% | 15.4% | 7.7% | 7.7% | | | |
| 21 | 61.9% | 38.1% | 23.8% | 14.3% | 9.5% | 4.8% | 4.8% | | |
| 34 | 61.8% | 38.2% | 23.5% | 14.7% | 8.8% | 5.9% | 2.9% | 2.9% | |
| 55 | 61.8% | 38.2% | 23.6% | 14.5% | 9.1% | 5.5% | 3.6% | 1.8% | 1.8% |
| 89 | 61.8% | 38.2% | 23.6% | 14.6% | 9.0% | 5.6% | 3.6% | 2.2% | 1.1% |
| 144 | 61.8% | 38.2% | 23.6% | 14.6% | 9.0% | 5.6% | 3.5% | 2.1% | 1.4% |
| 233 | 61.8% | 38.2% | 23.6% | 14.6% | 9.0% | 5.6% | 3.4% | 2.1% | 1.3% |
| 377 | 61.8% | 38.2% | 23.6% | 14.6% | 9.0% | 5.6% | 3.4% | 2.1% | 1.3% |
| 610 | 61.8% | 38.2% | 23.6% | 14.6% | 9.0% | 5.6% | 3.4% | 2.1% | 1.3% |
| 987 | 61.8% | 38.2% | 23.6% | 14.6% | 9.0% | 5.6% | 3.4% | 2.1% | 1.3% |
| 1,597 | 61.8% | 38.2% | 23.6% | 14.6% | 9.0% | 5.6% | 3.4% | 2.1% | 1.3% |
| 2,584 | 61.8% | 38.2% | 23.6% | 14.6% | 9.0% | 5.6% | 3.4% | 2.1% | 1.3% |
| 4,181 | 61.8% | 38.2% | 23.6% | 14.6% | 9.0% | 5.6% | 3.4% | 2.1% | 1.3% |
| 6,765 | 61.8% | 38.2% | 23.6% | 14.6% | 9.0% | 5.6% | 3.4% | 2.1% | 1.3% |
| 10,948 | 61.8% | 38.2% | 23.6% | 14.6% | 9.0% | 5.6% | 3.4% | 2.1% | 1.3% |
| 17,711 | 61.8% | 38.2% | 23.6% | 14.6% | 9.0% | 5.6% | 3.4% | 2.1% | 1.3% |
| 28,657 | 61.8% | 38.2% | 23.6% | 14.6% | 9.0% | 5.6% | 3.4% | 2.1% | 1.3% |
| 46,368 | 61.8% | 38.2% | 23.6% | 14.6% | 9.0% | 5.6% | 3.4% | 2.1% | 1.3% |
| 75,025 | 61.8% | 38.2% | 23.6% | 14.6% | 9.0% | 5.6% | 3.4% | 2.1% | 1.3% |
| 121,393 | 61.8% | 38.2% | 23.6% | 14.6% | 9.0% | 5.6% | 3.4% | 2.1% | 1.3% |
| 196,418 | 61.8% | 38.2% | 23.6% | 14.6% | 9.0% | 5.6% | 3.4% | 2.1% | 1.3% |
| 317,811 | 61.8% | 38.2% | 23.6% | 14.6% | 9.0% | 5.6% | 3.4% | 2.1% | 1.3% |
| 514,329 | 61.8% | 38.2% | 23.6% | 14.6% | 9.0% | 5.6% | 3.4% | 2.1% | 1.3% |
| 832,040 | 61.8% | 38.2% | 23.6% | 14.6% | 9.0% | 5.6% | 3.4% | 2.1% | 1.3% |
| 1,346,269 | | | | | | | | | |
| 100.00% | 38.2% | 61.8% | 76.4% | 85.4% | 91.0% | 94.4% | 96.6% | 97.9% | 98.7% |
| | | | 23.6% | 14.6% | 9.0% | 5.6% | 3.4% | 2.1% | 1.3% |
| The square root of 2: | 1.4142 | = | 0.7071 | = | 0.3536 | = | 0.1771 | = | 0.0894 |
| | | | | | | 41.40% | 58.60% | | |

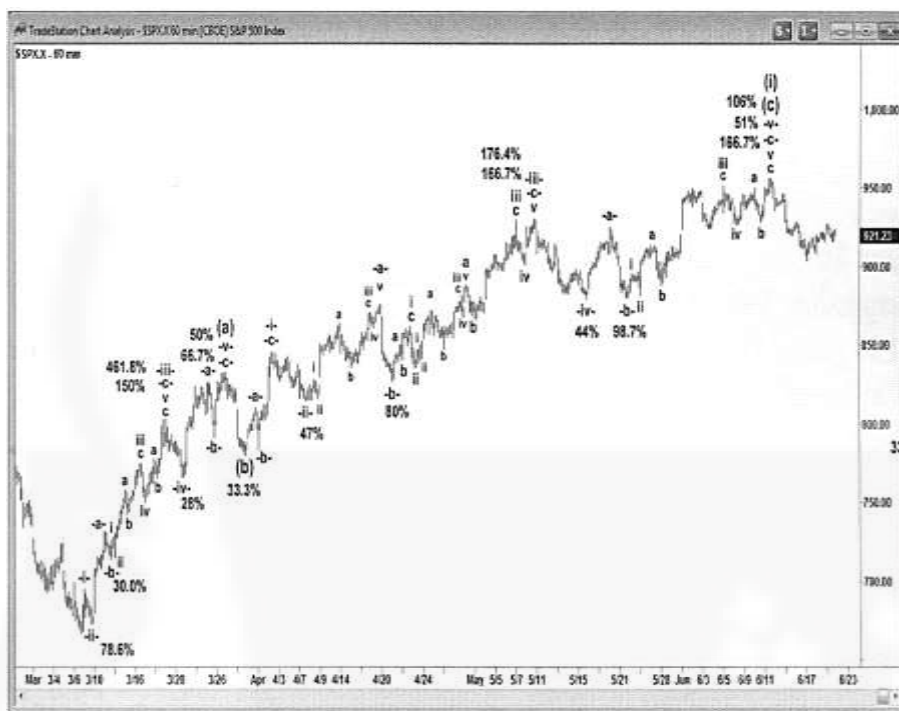
شکل ۳-۹ منبع نسبت‌های زیر ۱۰٪ که از دنباله فیبوناچی و جذر ۲ حاصل می‌شود.



شکل ۱۰-۳ ساختار IM پیچیده در شاخص صنعتی دا جونز



شکل ۱۱-۳ ساخت موج (۱) در شاخص S&P



شکل ۱۲-۳ یک حرکت صعودی سه موجی با همان توسعه در S&P در شکل ۱۱-۳



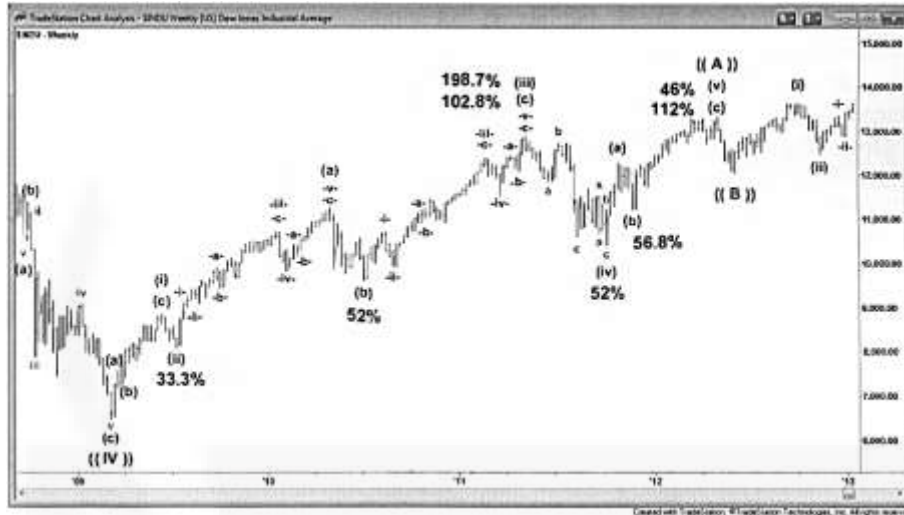
شکل ۱۳-۳ درجه بالاتر بعدی در شاخص S&P در حال حرکت به سمت موج (iii)



شکل ۱۴-۳ موج a- از iii- در شاخص S&P



شکل ۱۵-۳ موج c- از iii- در شاخص S&P



شکل ۱۶-۳ حرکت صعودی موج ((A)) در شاخص صنعتی داو جونز

| Wave (A) of Wave (I V) | | 84.44% | | | | | Wave (III) | | | Wave (v) | | |
|------------------------|----------|-----------|------------|-----------|----------|----------|------------|----------|----------|----------|----------|--|
| Start | Wave (I) | Wave (II) | Wave (III) | Wave (IV) | Wave (v) | Wave (a) | Wave (b) | Wave (c) | Wave (a) | Wave (b) | Wave (c) | |
| 6469.93 | 8877.93 | 8887.34 | 12876.00 | 10404.49 | 13338.88 | 11258.81 | 9614.32 | 13338.88 | 11284.31 | 11231.16 | 13338.88 | |
| Retracements | 9.17% | 14.80% | 21.80% | 53.30% | 58.70% | 41.40% | 50.00% | 58.60% | 61.80% | 66.86% | 78.40% | |
| Projections | 11983.45 | 12101.44 | 12335.82 | 12551.73 | 12687.32 | 13872.00 | 13471.58 | 14391.43 | 14743.00 | 14999.71 | 15079.48 | |
| Wave (c) | 76.40% | 85.40% | 94.40% | 100.00% | 105.60% | 109.20% | 114.60% | 123.60% | 138.20% | 161.80% | 166.70% | |
| Projections | 12036.71 | 12322.07 | 12607.43 | 12784.99 | 12962.55 | 13076.89 | 13247.91 | 13533.27 | 13996.18 | 14744.48 | 14999.71 | |
| Wave (iv) | 9.22% | 14.60% | 23.00% | 33.30% | 38.20% | 41.40% | 50.00% | 58.60% | 61.80% | 66.70% | | |
| Retracements | 12144.06 | 12176.86 | 11748.88 | 11281.38 | 11046.79 | 10893.48 | 10481.67 | 10668.68 | 9916.41 | 9681.94 | | |
| Wave (v) | 50.00% | 58.60% | 61.80% | 66.70% | 76.40% | 85.40% | 90.00% | 94.40% | 100.00% | 105.60% | | |
| Projections | 12607.52 | 14158.44 | 14949.43 | 14677.33 | 14298.71 | 13876.28 | 14560.04 | 16481.80 | 16810.64 | 17169.28 | | |
| Wave (c) | 85.40% | 90.00% | 95.40% | 100.00% | 105.60% | 109.20% | 114.60% | 123.60% | 138.20% | 161.80% | | |
| Projections | 13826.93 | 12923.40 | 13024.90 | 13111.39 | 13216.65 | 13284.32 | 13395.83 | 13737.36 | 14051.29 | 14373.11 | | |

شکل ۱۷-۳ صفحه Excel مقادیر امواج جداگانه وارد شده است.

| Wave (A) of Wave (I V) | | 82.83% | | | | | Wave (III) | | | Wave (v) | | |
|------------------------|----------|-----------|------------|-----------|----------|----------|------------|----------|----------|----------|----------|--|
| Start | Wave (I) | Wave (II) | Wave (III) | Wave (IV) | Wave (v) | Wave (a) | Wave (b) | Wave (c) | Wave (a) | Wave (b) | Wave (c) | |
| 6469.95 | 8877.93 | 8887.34 | 12339.82 | 10311.18 | 13338.88 | 11258.81 | 9614.32 | 13338.88 | 12284.31 | 11231.96 | 13338.88 | |
| Retracements | 9.02% | 14.60% | 22.61% | 33.30% | 38.20% | 41.40% | 50.00% | 58.60% | 61.80% | 66.86% | 78.40% | |
| Projections | 11983.45 | 12101.44 | 12335.82 | 12551.73 | 12687.32 | 13872.00 | 13471.58 | 14391.43 | 14743.00 | 14999.71 | 15079.48 | |
| Wave (c) | 76.40% | 85.40% | 94.40% | 100.00% | 105.60% | 109.20% | 114.60% | 123.60% | 138.20% | 161.80% | 166.70% | |
| Projections | 12036.71 | 12322.07 | 12607.43 | 12784.99 | 12962.55 | 13076.89 | 13247.91 | 13533.27 | 13996.18 | 14744.48 | 14999.71 | |
| Wave (iv) | 9.22% | 14.60% | 23.00% | 33.30% | 38.20% | 41.40% | 50.00% | 58.60% | 61.80% | 66.70% | | |
| Retracements | 11991.88 | 11714.86 | 11332.57 | 10920.54 | 10712.41 | 10376.40 | 10211.18 | 9848.88 | 9709.95 | 9501.82 | | |
| Wave (v) | 50.00% | 58.60% | 61.80% | 66.70% | 76.40% | 85.40% | 90.00% | 94.40% | 100.00% | 105.60% | | |
| Projections | 13143.72 | 12648.11 | 13835.79 | 14123.18 | 14689.09 | 15219.98 | 15489.74 | 15747.81 | 16076.25 | 16404.83 | | |
| Wave (c) | 85.40% | 90.00% | 95.40% | 100.00% | 105.60% | 109.20% | 114.60% | 123.60% | 138.20% | 161.80% | | |
| Projections | 13822.81 | 12957.30 | 13259.33 | 13304.69 | 13403.78 | 13499.42 | 13607.37 | 13995.94 | 14341.26 | 14689.88 | | |

شکل ۱۸-۳ پیش‌بینی توسعه امواج جایگزین

| 104.90% | | | | | | Wave (III) | | | | | | Wave (V) | | |
|-----------------------|----------|-----------|------------|-----------|----------|------------|----------|----------|----------|----------|----------|----------|----------|----------|
| Wave (x) of Wave (II) | | | | | | Wave (a) | | | | | | Wave (c) | | |
| Start | Wave (I) | Wave (II) | Wave (III) | Wave (IV) | Wave (V) | Wave (a) | Wave (b) | Wave (c) | Wave (d) | Wave (e) | Wave (f) | Wave (g) | Wave (h) | Wave (i) |
| 8514.32 | 10719.94 | 8938.62 | 12391.30 | 11955.48 | 12876.00 | 11193.23 | 10917.63 | 12391.30 | | 12430.93 | 12063.89 | 12876.00 | | |
| Wave (II) | 9.02% | 14.60% | 23.90% | 33.30% | 38.20% | 41.40% | 50.00% | 58.60% | 61.80% | 66.66% | 76.40% | 85.40% | 90.02% | |
| Retracements | 8860.72 | 8526.36 | 8309.65 | 8076.07 | 7958.08 | 7881.03 | 7673.94 | 7486.85 | 7389.80 | 7272.77 | 7038.23 | 6821.52 | 6710.27 | |
| Wave (III) | 181.80% | 168.70% | 178.40% | 188.60% | 180.20% | 188.70% | 223.60% | 261.80% | 278.40% | 285.40% | 290.00% | 294.40% | 298.60% | |
| Projections | 11963.45 | 12101.44 | 12339.02 | 12881.73 | 12687.32 | 12872.00 | 13471.58 | 14391.43 | 14743.00 | 14989.71 | 15078.48 | 15176.43 | 15272.37 | |
| Wave (c) | 76.40% | 85.40% | 94.40% | 100.00% | 105.60% | 109.20% | 114.60% | 123.60% | 138.20% | 151.80% | 166.70% | 176.40% | 185.40% | |
| Projections | 12036.71 | 12322.07 | 12607.43 | 12784.99 | 12962.55 | 13076.89 | 13247.81 | 13533.27 | 13996.19 | 14744.44 | 14899.83 | 15207.38 | 15492.74 | |
| Wave (IV) | 9.02% | 14.60% | 23.90% | 33.30% | 38.20% | 41.40% | 50.00% | 58.60% | 61.80% | 66.66% | 76.40% | 85.40% | 90.02% | |
| Retracements | 12444.08 | 12176.86 | 11745.08 | 11281.38 | 11048.73 | 10883.48 | 10481.67 | 10209.89 | 9916.81 | 9661.95 | | | | |
| Wave (V) | 30.00% | 38.20% | 41.80% | 49.70% | 76.40% | 81.60% | 90.00% | 94.40% | 100.00% | 105.60% | | | | |
| Projections | 13607.52 | 14155.44 | 14583.43 | 14977.33 | 15278.73 | 15875.24 | 16169.94 | 16451.80 | 16810.34 | 17169.28 | | | | |
| Wave (c) | 85.40% | 90.00% | 95.40% | 100.00% | 105.60% | 109.20% | 114.60% | 123.60% | 138.20% | 150.00% | 161.80% | 166.70% | 176.40% | 185.40% |
| Projections | 12938.93 | 12922.40 | 12924.91 | 13111.30 | 13216.88 | 13284.32 | 13385.83 | 13717.26 | 14001.26 | 14272.11 | 14386.22 | 14667.38 | 14716.73 | |

شکل ۱۹-۳ چگونگی منطبق کردن اهداف درجه پایین تر با اهداف درجه بالاتر



شکل ۲۰-۳ نمونه‌هایی از اصلاحات موج (b) در موقعیت‌های مختلف



شکل ۲۱-۳ نمونه‌هایی از اصلاحات موج (x) در نمودار هفتگی GBPUSD



شکل ۲۲-۳ یک اصلاح Flat در موج -b- از یک زیگزاگ در موج (iv) در NASDAQ



شکل ۲۵-۳ یک مثلث irregular در موج (x) در شاخص S&P 500



شکل ۱-۴ نمونه‌هایی از اهداف ذاتی در برگشت‌ها در شاخص روزانه Hang Seng



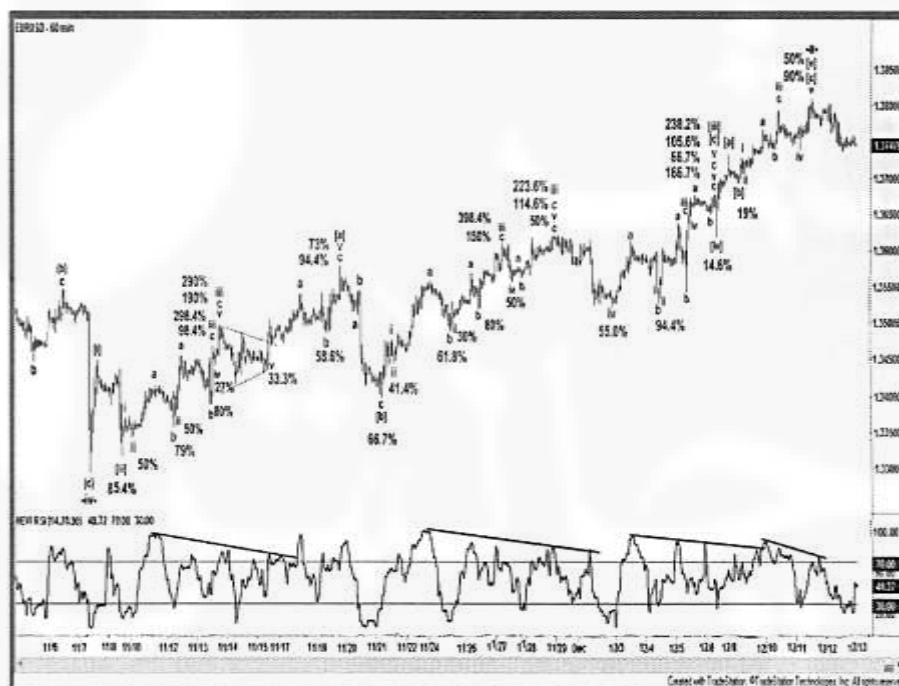
شکل ۲-۴ نمونه‌هایی از اهداف ذاتی در برگشت‌ها در EURUSD روزانه



شکل ۳-۴ نمونه‌هایی از اهداف ذاتی در برگشت‌ها در USDJPY ساعتی



شکل ۴-۴ چگونه اندیکاتورها می‌توانند در اولین برگشت، حمایت یا مقاومت را نشان دهند



شکل ۴-۵ حرکت صعودی پنج موجی با چند موج عمیق از b از iii



شکل ۴-۶ موج مینور -b- از -iii- در موج (c) از (iii) در DOW



شکل ۴-۷ یک موج بسیار کم عمق ((B)) از ((V)) در DJIA